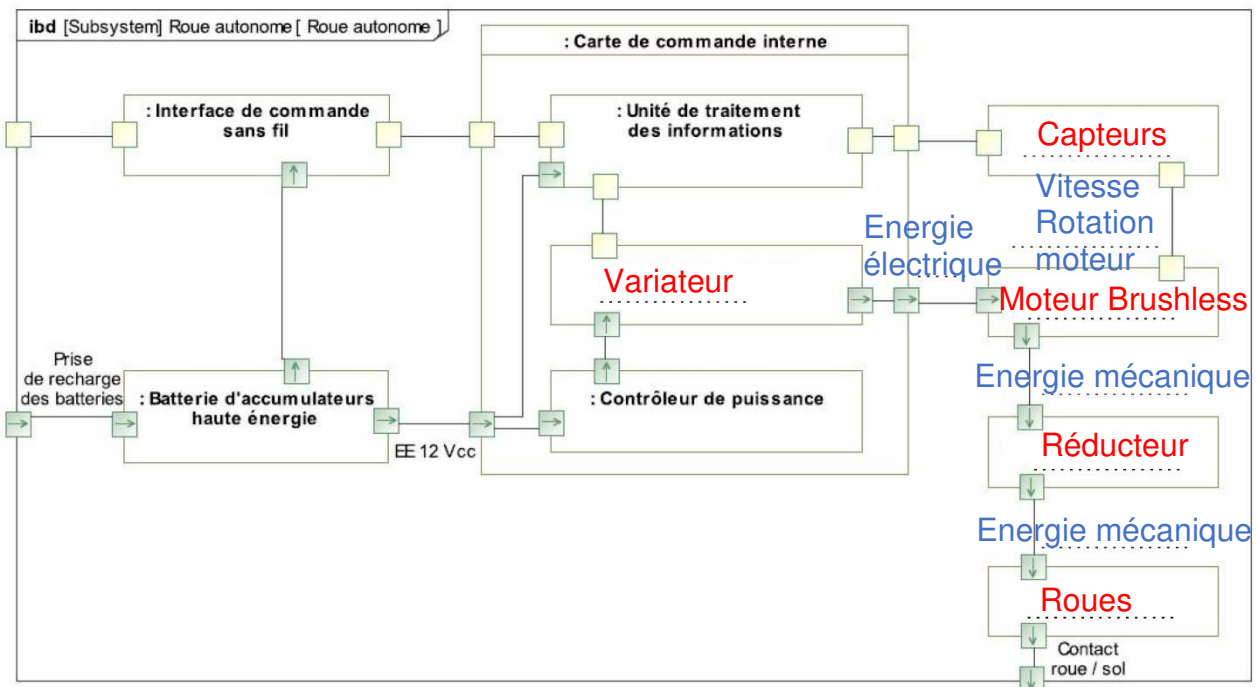


Q1 –

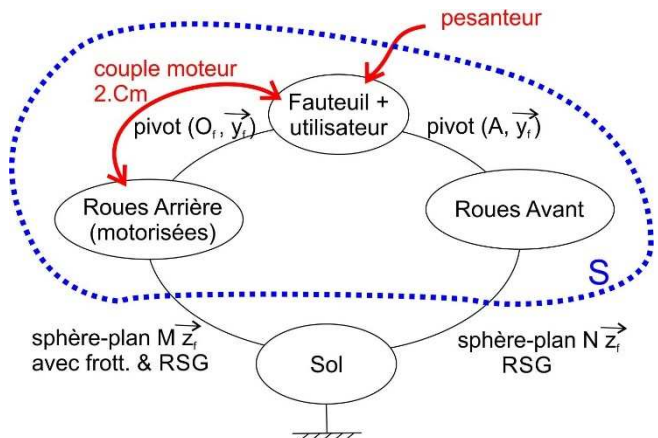
Diagramme des blocs internes :



Q3 – On isole $S = \{\text{fauteuil+roues+utilisateur}\}$, BAME :

$$\bullet \quad \{T_{Sol \rightarrow \text{roues avant}}\} = \begin{pmatrix} 0 & 0 \\ 0 & 0 \\ Z_N & 0 \end{pmatrix}_{N,Rf} = \begin{pmatrix} Z_N \cdot \vec{z_f} \\ \vec{0} \end{pmatrix}_N$$

(frottement négligé)



$$\bullet \quad \{T_{Sol \rightarrow \text{roues arrière}}\} = \begin{pmatrix} X_M & 0 \\ 0 & 0 \\ Z_M & 0 \end{pmatrix}_{M,Rf} = \begin{pmatrix} X_M \cdot \vec{x}_f + Z_M \cdot \vec{z}_f \\ \vec{0} \end{pmatrix}_M$$

$$\bullet \quad \{T_{pes \rightarrow S}\} = \begin{pmatrix} 0 & 0 \\ 0 & 0 \\ -M_s \cdot g & 0 \end{pmatrix}_{G,R_0} = \begin{pmatrix} -M_s \cdot g \cdot \vec{z}_0 \\ \vec{0} \end{pmatrix}_G$$

Q4- Moment dynamique en G de l'ensemble S en mouvement dans R_0 :

$$\overrightarrow{\delta_{G,(S/R_0)}} = \overrightarrow{\delta_{G,(fauteuil+utilisateur/R_0)}} + \overrightarrow{\delta_{G,(Roues avant/R_0)}} + \overrightarrow{\delta_{G,(Roues arrière/R_0)}}$$

Les masses et inerties des roues motorisées sont négligeables, donc :

$$\overrightarrow{\delta_{G,(Roues avant/R_0)}} = \vec{0} \text{ et } \overrightarrow{\delta_{G,(Roues arrière/R_0)}} = \vec{0}$$

L'utilisateur et le fauteuil se déplacent en ligne droite (en translation): $\overrightarrow{\Omega_{(fauteuil+utilisateur/R_0)}} = \vec{0}$

$$\overrightarrow{\delta_{G,(fauteuil+utilisateur/R_0)}} = \frac{d \overrightarrow{\sigma_{G,(fauteuil+utilisateur/R_0)}}}{dt/R_0} = \vec{0} \quad \boxed{\overrightarrow{\delta_{G,(S/R_0)}} = \vec{0}}$$

Q5 - On isole S = {fauteuil+roues+utilisateur}, BAME effectué Q3-

On applique le PFD à S en mouvement dans R_0 galiléen :

$$\text{TRD : } \overrightarrow{Rd_{(S/R_0)}} = Z_N \cdot \overrightarrow{Z_f} + X_M \cdot \overrightarrow{X_f} + Z_M \cdot \overrightarrow{Z_f} - M_s \cdot g \cdot \vec{z}$$

$$\text{TMD en G : } \overrightarrow{\delta_{G,(S/R_0)}} = \overrightarrow{GN} \wedge Z_N \cdot \overrightarrow{Z_f} + \overrightarrow{GM} \wedge (X_M \cdot \overrightarrow{X_f} + Z_M \cdot \overrightarrow{Z_f})$$

Détails des calculs :

- $\overrightarrow{Rd_{(S/R_0)}} = M_s \cdot \overrightarrow{\alpha_{G,(fauteuil+utilisateur/R_0)}}$ car les masses et inerties des roues motorisées sont négligeables.
- Fauteuil+utilisateur en translation selon $\overrightarrow{X_f}$: $\overrightarrow{Rd_{(S/R_0)}} = M_s \cdot \ddot{x}(t) \cdot \overrightarrow{X_f}$ (car $\overrightarrow{\alpha_{G,(f+u/R_0)}} = \frac{d^2 \overrightarrow{OO_f}}{dt^2/R_0}$)
- $\overrightarrow{\delta_{G,(S/R_0)}} = \vec{0}$ (Q4)2
- $\overrightarrow{GN} \wedge Z_N \cdot \overrightarrow{Z_f} = (-h \cdot \overrightarrow{Z_f} + e \cdot \overrightarrow{X_f}) \wedge Z_N \cdot \overrightarrow{Z_f} = -e \cdot Z_N \cdot \overrightarrow{y_f}$
- $\overrightarrow{GM} \wedge (X_M \cdot \overrightarrow{X_f} + Z_M \cdot \overrightarrow{Z_f}) = (-h \cdot \overrightarrow{Z_f} - \ell \cdot \overrightarrow{X_f}) \wedge (X_M \cdot \overrightarrow{X_f} + Z_M \cdot \overrightarrow{Z_f}) = (-h \cdot X_M + \ell \cdot Z_M) \cdot \overrightarrow{y_f}$

D'où les 3 équations :

$$\text{TRD projeté sur } \overrightarrow{X_f} : \quad (1)$$

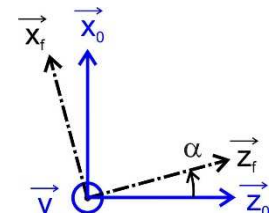
$$M_s \cdot \ddot{x}(t) = X_M + M_s \cdot g \cdot \sin \alpha$$

$$\text{TRD projeté sur } \overrightarrow{Z_f} : \quad (2)$$

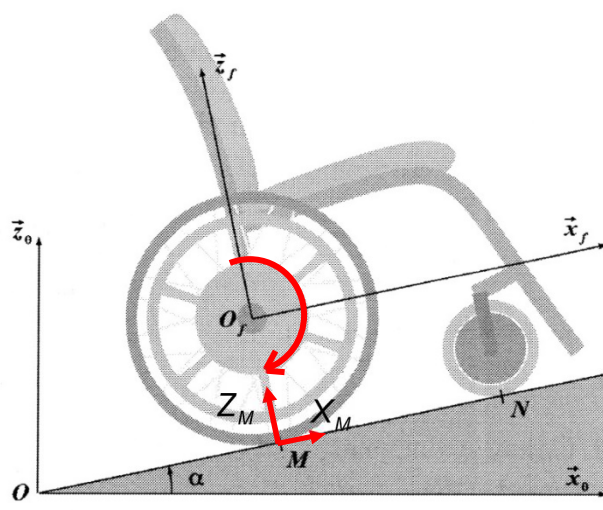
$$0 = Z_N + Z_M - M_s \cdot g \cdot \cos \alpha$$

$$\text{TMD en G projeté sur } \overrightarrow{y_f} : \quad (3)$$

$$0 = -e \cdot Z_N - h \cdot X_M + \ell \cdot Z_M$$



Q6 - D'après la loi de Coulomb, à la limite du glissement : (4) $\boxed{X_M = f \cdot Z_M}$



Remarque : Le fauteuil monte donc la roue motrice tourne dans le sens positif, l'action tangentielle du sol sur la roue motorisée s'oppose à la vitesse de glissement qui pourrait exister (selon $-\overrightarrow{x_f}$ si la roue patine), elle est dirigée selon $+\overrightarrow{x_f}$, $X_M > 0$.

On a donc le système d'équations suivant :

$$(1) M_s \cdot \ddot{x}(t) = f \cdot Z_M + M_s \cdot g \cdot \sin \alpha$$

$$(2) 0 = Z_N + Z_M - M_s \cdot g \cdot \cos \alpha$$

$$(3) 0 = -e \cdot Z_N - h \cdot f \cdot Z_M + \ell \cdot Z_M$$

$$(2)+(3) \Rightarrow (e - h \cdot f + \ell) \cdot Z_M = e \cdot M_s \cdot g \cdot \cos \alpha \text{ d'où :}$$

$$\boxed{\ddot{x}(t) = g \cdot \left[\frac{f \cdot e \cdot \cos \alpha}{(e - h \cdot f + \ell)} + \sin \alpha \right]}$$

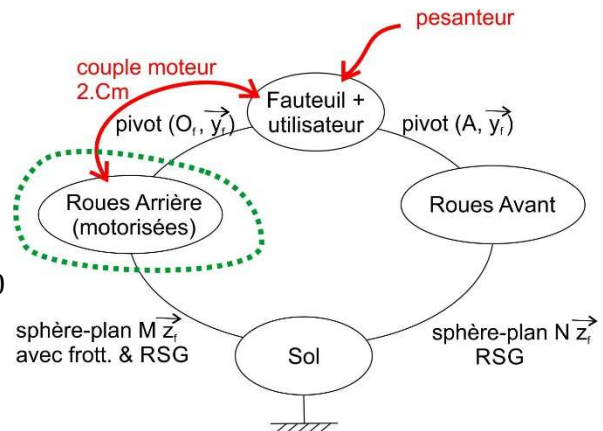
Application numérique :

on a alors $\tan|\alpha| = \frac{12}{100}$ pour une pente de 12%, d'où $\alpha = -6,8^\circ$ et $\ddot{x} = 4,15 \text{ m.s}^{-2}$

Q7- On cherche le couple moteur (en sortie du « motoréducteur ») en fonction de l'accélération

On isole les deux roues motorisées, BAME :

- Masse négligée
- $\{T_{Sol \rightarrow \text{roues arrière}}\} = \left\{ \begin{array}{l} X_M \cdot \vec{x}_f + Z_M \cdot \vec{z}_f \\ \vec{0} \end{array} \right\}_M$
- $\{T_{\text{fauteuil} \rightarrow \text{roues arrière}}\}$ avec $\overrightarrow{M_{O_f, (\text{Fauteuil} \rightarrow \text{RoueAr})}} \cdot \vec{y}_f = 0$
- $\{T_{\text{moteur} \rightarrow \text{roues arrière}}\} = \left\{ \begin{array}{l} \vec{0} \\ 2 \cdot C_m \cdot \vec{y}_f \end{array} \right\}_{VP}$



On applique le théorème du moment dynamique en O_f en projection sur \vec{y}_f aux roues arrière en mouvement par rapport à R0 galiléen :

$$\overrightarrow{M}_{O_f(Sol \rightarrow \text{roues arrière})} \cdot \vec{y}_f + 2 \cdot C_m = \overrightarrow{\delta_{O_f}(\text{roues Arrière}/0)} \cdot \vec{y}_f$$

car masses et inerties négligées

Détails des calculs :

$$\overrightarrow{M}_{O_f(Sol \rightarrow \text{roues arrière})} \cdot \vec{y}_f = (\overrightarrow{O_f M} \wedge [X_M \vec{x}_f + Z_M \vec{z}_f]) \cdot \vec{y}_f = [-R \vec{z}_f \wedge X_M \vec{x}_f] \cdot \vec{y}_f = -R X_M$$

$$(5) \quad 2 \cdot C_m - R \cdot X_M = 0$$

avec $X_M = f \cdot Z_M$ à la limite du glissement.

On a donc : $2 \cdot C_m - R \cdot f \cdot Z_M = 0$

On avait précédemment trouvé :

$$(1) \quad f \cdot Z_M + M_S \cdot g \cdot \sin \alpha = M_S \cdot \ddot{x}(t) \Leftrightarrow 2 \frac{C_m}{R} = M_S(\ddot{x}(t) - g \sin \alpha)$$

$$Cm = \frac{R}{2} M_S(\ddot{x}(t) - g \sin \alpha)$$

Application numérique dans le cas du glissement : $\ddot{x} = 4,15 \text{ m.s}^{-2}$

$$Cm \approx 160 \text{ Nm}$$

Q8- Chaque moteur fournit 70 Nm au maximum et on trouve qu'à la limite du glissement, c'est-à-dire lorsque le fauteuil patine sur une pente de béton mouillé de 12%, le couple moteur est de 160 Nm. **Donc les roues arrières ne patineront pas avec les moteurs choisis.**

Calcul de l'action mécanique du sol sur la roue avant :

L'application du TRD à S a donné : (2) $Z_N + Z_M - M_S \cdot g \cdot \cos \alpha = 0$

et l'application du TMD en O_f aux roues arrière a donné : (5) $2 \cdot C_m - R \cdot f \cdot Z_M = 0$

$$\text{d'où : } Z_N = M_S \cdot g \cdot \cos \alpha - Z_M = M_S \cdot g \cdot \cos \alpha - \frac{2 \cdot C_m}{R \cdot f} = 1461 - 1778 \quad [N]$$

$$Z_N = -317 \text{ N}$$

Z_N ne peut être que positif s'il y a contact entre la roue avant et le sol. Donc, le fauteuil bascule autour du point M quand le couple moteur est de 160 Nm.

D'où la nécessité de limiter le couple moteur pour empêcher le basculement.

Remarque : pour $C_m = 70 \text{ N.m}$, $Z_N = 1461 - 778 = 683 \text{ N} > 0$ pas de basculement.

Q9 - On a maintenant le système d'équations suivant avec $C_m=70 \text{ Nm}$

$$(1) \quad X_M + M_S \cdot g \cdot \sin \alpha = M_S \ddot{x}(t)$$

$$(5) \quad 2C_m - RX_M = 0 \Rightarrow X_M = 350 \text{ N}$$

$$\boxed{\ddot{x}(t) = \frac{2C_m}{RM_S} + g \sin \alpha}$$

$$\text{Application numérique : } \ddot{x}(t) = 1,17 \text{ m.s}^{-2}$$

Le fauteuil ne glissera pas sur une pente de béton mouillé de 12% puisque $C_m < 160 \text{ Nm}$.

On cherche à présent Z_N pour vérifier qu'il y a contact entre la roue avant et le sol.

On a le système d'équations :

$$(2) \quad Z_N + Z_M = M_S g \cos \alpha$$

$$(3) \quad -eZ_N + lZ_M = hX_M$$

$$l \times (2) - (3) \Leftrightarrow (e + l)Z_N = eM_S g \cos \alpha - hX_M \quad \text{avec} \quad (5) \quad X_M = \frac{2C_m}{R}$$

$$\text{On a donc : } Z_N = \frac{lM_S g \cos \alpha - h \frac{2C_m}{R}}{e + l}$$

Application numérique : $Z_N = 137 \text{ N} > 0$ Le fauteuil ne bascule pas, les roues avant sont en contact avec le sol.

On peut vérifier qu'on n'a pas glissement en M :

$$e \times (2) + (3) \Leftrightarrow (e + l)Z_M = eM_S g \cos \alpha + hX_M$$

$$Z_M = \frac{eM_S g \cos \alpha + h \frac{2C_m}{R}}{e + l}$$

Application numérique : $Z_M = 1324 \text{ N}$, d'après la loi de Coulomb, on n'a pas glissement en M si : $|X_M| < f|Z_M|$

Le coefficient de frottement f des roues sur une rampe de béton mouillé de pente 12% est $f = 0,45$

On a bien : $350 < 0,45 \times 1324$.

Le fauteuil ne glisse pas sur une rampe de béton mouillé dont la pente est 12%.

Ce cas de figure étant le cas le plus défavorable, les moteurs mis en place sur le fauteuil permettent de respecter les normes d'accès aux bâtiments.

Q13-

Mouvement du fauteuil	rayon de courbure	Relation entre ω_g et ω_d
(a) Translation rectiligne	Infini $\rho \rightarrow +\infty$	$\omega_g = \omega_d$
(a) Rotation autour de l'axe (O_f, \vec{z}_0) (pivoté sur lui-même)	Nul $\rho = 0$	$\omega_g = -\omega_d$
(b) Rotation autour de l'axe (O_g, \vec{z}_0)	$\rho = \frac{a}{2}$	$\omega_g = 0$

Q14a- Roulement sans glissement en I_g entre Rg et $R0$: $\vec{V}(I_g, Rg/R_0) = \vec{0}$

$$\vec{V}(O_f, Rf/R_0) = \underbrace{\vec{V}(O_f, Rf/Rg)}_{\vec{0} \text{ car } O_f \in \text{axe rotation}} + \vec{V}(O_f, Rg/R_0) = \underbrace{\vec{V}(I_g, Rg/R_0)}_{\vec{0}} + \overrightarrow{O_f I_g} \wedge \vec{\Omega}(Rg/R_0)$$

$$\vec{\Omega}(Rg/R_0) = \vec{\Omega}(Rg/Rf) + \vec{\Omega}(Rf/R_0) = \omega_g \vec{y}_f + \dot{\beta} \vec{z}_f$$

$$\vec{V}(O_f, Rf/R_0) = \left(\frac{a}{2} \vec{y}_f - R \vec{z}_f \right) \wedge (\omega_g \vec{y}_f + \dot{\beta} \vec{z}_f) = \frac{a}{2} \vec{y}_f \wedge \dot{\beta} \vec{z}_f - R \vec{z}_f \wedge \omega_g \vec{y}_f$$

$$\boxed{\vec{V}(O_f, Rf/R_0) = \left(\frac{a}{2} \dot{\beta} + R \omega_g \right) \vec{x}_f}$$

Q14b- Roulement sans glissement en I_d : $\vec{V}(I_d, Rd/R_0) = \vec{0}$

$$\vec{V}(O_f, Rf/R_0) = \underbrace{\vec{V}(O_f, Rf/Rd)}_{\vec{0} \text{ car } O_f \in \text{axe rotation}} + \vec{V}(O_f, Rd/R_0) = \underbrace{\vec{V}(I_d, Rd/R_0)}_{\vec{0}} + \overrightarrow{O_f I_d} \wedge \vec{\Omega}(Rd/R_0)$$

$$\vec{\Omega}(Rd/R_0) = \vec{\Omega}(Rd/Rf) + \vec{\Omega}(Rf/R_0) = \omega_d \vec{y}_f + \dot{\beta} \vec{z}_f$$

$$\vec{V}(O_f, Rf/R_0) = \left(-\frac{a}{2} \vec{y}_f - R \vec{z}_f \right) \wedge (\omega_d \vec{y}_f + \dot{\beta} \vec{z}_f) = -\frac{a}{2} \vec{y}_f \wedge \dot{\beta} \vec{z}_f - R \vec{z}_f \wedge \omega_d \vec{y}_f$$

$$\boxed{\vec{V}(O_f, Rf/R_0) = \left(-\frac{a}{2} \dot{\beta} + R \omega_d \right) \vec{x}_f}$$

Q14c- $\vec{V}(O_f, Rf/R_0) = \underbrace{\vec{V}(O, Rf/R_0)}_{\vec{0}} + \overrightarrow{O_f O} \wedge \vec{\Omega}(Rf/R_0)$

$$\vec{V}(O_f, Rf/R_0) = \rho \vec{y}_f \wedge \dot{\beta} \vec{z}_0$$

$$\boxed{\vec{V}(O_f, Rf/R_0) = \rho \cdot \dot{\beta} \vec{x}_f}$$

Q15 - $\|\vec{V}(O_f, Rf/R_0)\| = V(t)$ donc : $V(t) = \rho \cdot \dot{\beta}$ et on obtient en utilisant les résultats de la Q14 :

$$\frac{a}{2} \dot{\beta} + R \omega_g = \rho \dot{\beta} \Rightarrow \frac{a V(t)}{2 \rho} + R \omega_g = V(t)$$

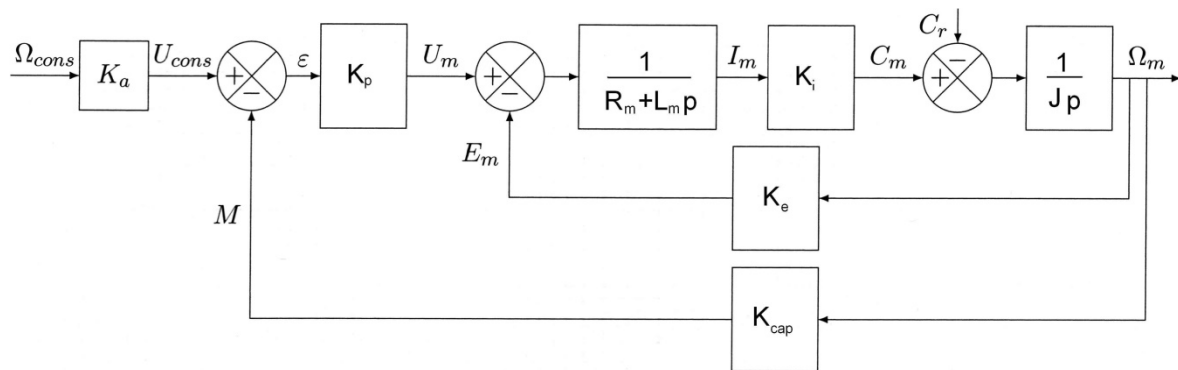
$$\omega_g = \frac{1}{R} V(t) \left(1 - \frac{a}{2\rho} \right)$$

$$-\frac{a}{2} \dot{\beta} + R \omega_d = \rho \dot{\beta} \Rightarrow -\frac{a V(t)}{2 \rho} + R \omega_d = V(t)$$

$$\omega_d = \frac{1}{R} V(t) \left(1 + \frac{a}{2\rho} \right)$$

Q16 -

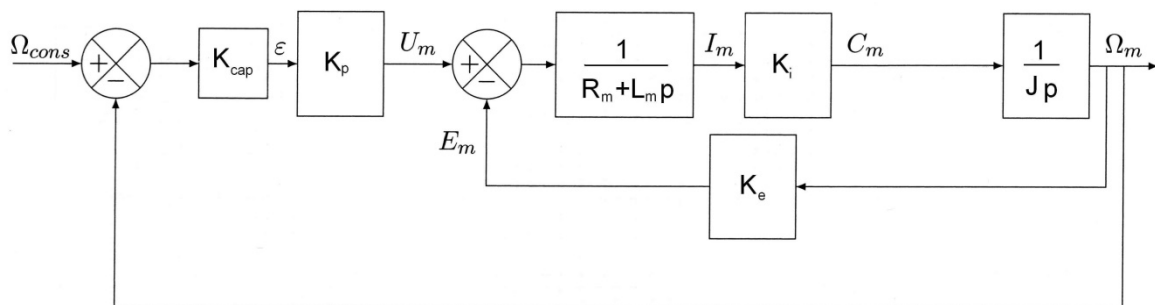
Document réponse 3 : modélisation de l'asservissement en vitesse de rotation d'un moteur



Pour que la vitesse de rotation du moteur soit correctement asservie il faut $K_a = K_{cap}$

Q17- $H_1(p)$ est la fonction de transfert $\frac{\Omega_m(p)}{\Omega_{cons}(p)}$ lorsqu'on le couple $C_r(p) = 0$.

Dans ce cas, puisque $K_a = K_{cap}$, le système peut être modélisé comme un système à retour unitaire :



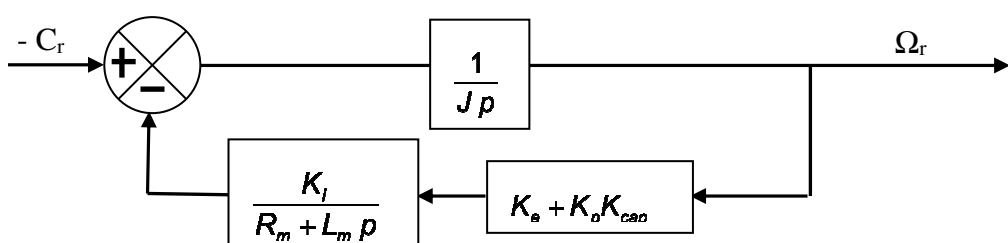
$$\text{Boucle interne : } F(p) = \frac{\Omega_m(p)}{U_m(p)} = \frac{K_i}{Jp(R_m + L_m p)} \times \frac{1}{1 + \frac{K_i K_e}{Jp(R_m + L_m p)}} = \frac{K_i}{K_i K_e + Jp(R_m + L_m p)}$$

$$H_1(p) = \frac{K_{cap} K_p F(p)}{1 + K_{cap} K_p F(p)} = \frac{\frac{K_{cap} K_p K_i}{K_i K_e + Jp(R_m + L_m p)}}{1 + \frac{K_{cap} K_p K_i}{K_i K_e + Jp(R_m + L_m p)}} = \frac{K_{cap} K_p K_i}{K_{cap} K_p K_i + \frac{K_i K_e + Jp(R_m + L_m p)}{K_i K_e + Jp(R_m + L_m p)}}$$

Sous forme canonique :

$$H_1(p) = \frac{K_{cap} K_p}{K_{cap} K_p + K_e} \frac{1}{1 + \frac{JR_m}{K_i(K_{cap} K_p + K_e)} p + \frac{JL_m}{K_i(K_{cap} K_p + K_e)} p^2}$$

Q18- $H_2(p)$ est la fonction de transfert $\frac{\Omega_m(p)}{-C_r(p)}$ lorsqu'on la consigne $\Omega_{cons}(p) = 0$. On a maintenant le schéma-blocs suivant :



$$\Omega_m(p) = \frac{\frac{1}{Jp}}{1 + \frac{K_i(K_p K_{cap} + K_e)}{Jp(R_m + L_m p)}} [-C_r(p)]$$

$$\Omega_m(p) = \frac{(R_m + L_m p)}{Jp(R_m + L_m p) + K_i(K_p K_{cap} + K_e)} [-C_r(p)]$$

$$H_2(p) = \frac{R_m}{K_i(K_{cap}K_p + K_e)} \frac{1 + \frac{L_m}{R_m}p}{1 + \frac{JR_m}{K_i(K_{cap}K_p + K_e)}p + \frac{JL_m}{K_i(K_{cap}K_p + K_e)}p^2}$$

Q19- La fonction de transfert en boucle fermée $H_1(p) = \frac{K_{cap}K_p}{K_{cap}K_p + K_e} \frac{1}{1 + \frac{JR_m}{K_i(K_{cap}K_p + K_e)}p + \frac{JL_m}{K_i(K_{cap}K_p + K_e)}p^2}$ est une fonction de transfert du 2nd ordre dont les coefficients du dénominateurs sont positifs, donc stable en boucle fermée (racines à partie réelle négative).

Q20 - D'après la Q17, on a : $FTBO(p) = \frac{K_{cap}K_p K_i}{K_i K_e + Jp(R_m + L_m p)}$

Sous forme canonique :

$$FTBO(p) = \frac{K_{cap}K_p}{K_e} \frac{1}{1 + \frac{JR_m}{K_i K_e}p + \frac{JL_m}{K_i K_e}p^2}$$

Se simplifie avec $K_e = K_{cap} = K_i = 0,2$ SI

$$FTBO(p) = \frac{K_p}{1 + \frac{JR_m}{K_i^2}p + \frac{JL_m}{K_i^2}p^2}$$

Q21- Diagramme de Bode de la FTBO (2nd ordre):

$$FTBO(p) = \frac{K_p}{1 + \frac{JR_m}{K_i^2}p + \frac{JL_m}{K_i^2}p^2} = \frac{K_p}{1 + 2,25p + 0,01p^2} = \frac{K_p}{1 + \frac{2z}{\omega_0}p + \frac{1}{\omega_0^2}p^2}$$

Cassure pour : $\omega_0 = 10 \text{ rad.s}^{-1}$.

Diagramme asymptotique 2nd ordre:

$GdB = 20 \cdot \log(K_p)$ en BF $\omega \ll \omega_0$, pente -40 dB/dec en HF $\omega \gg \omega_0$

$\varphi = 0$ en BF, -180° en HF

Diagramme réel 2nd ordre:

Valeurs pour $\omega = \omega_0$: $GdB = 20 \cdot \log \frac{K}{2.z}$ et $\varphi = -90^\circ$

Ici le coefficient d'amortissement étant nettement supérieur à 1, la FTBO est en fait un produit de 2 fonctions du premier ordre

$$\frac{2z}{\omega_0} = 2,25 \Rightarrow z = \frac{2,25 \times 10}{2} = 11,25$$

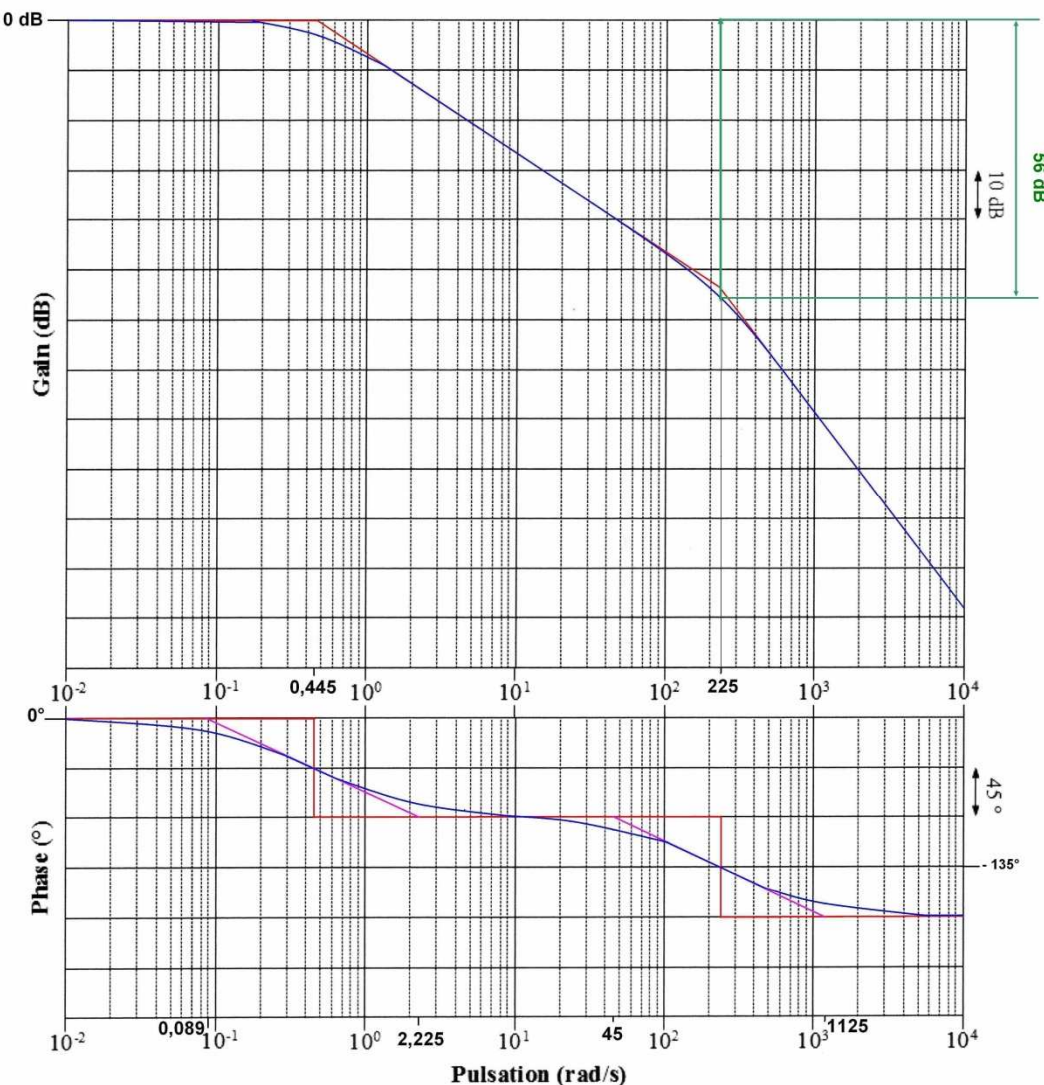
$$FTBO(p) = K_p \frac{1}{1+T_1p} \frac{1}{1+T_2p}$$

Les racines sont : $p_1 = \frac{-225+224,11}{2} \approx -0,445 \Rightarrow \frac{1}{T_1} = 0,445 \text{ rad. s}^{-1}$
 $p_2 = \frac{-225-224,11}{2} \approx -225 \Rightarrow \frac{1}{T_2} = 225 \text{ rad. s}^{-1}$

Le tracé des asymptotes est en rouge.

Le tracé réel est en bleu. (un petit tableau de 5 valeurs de φ permet d'avoir un tracé correct)

Document réponse 4 : tracé asymptotique des diagrammes de Bode de $FTBO(p)$ pour $K_p = 1$



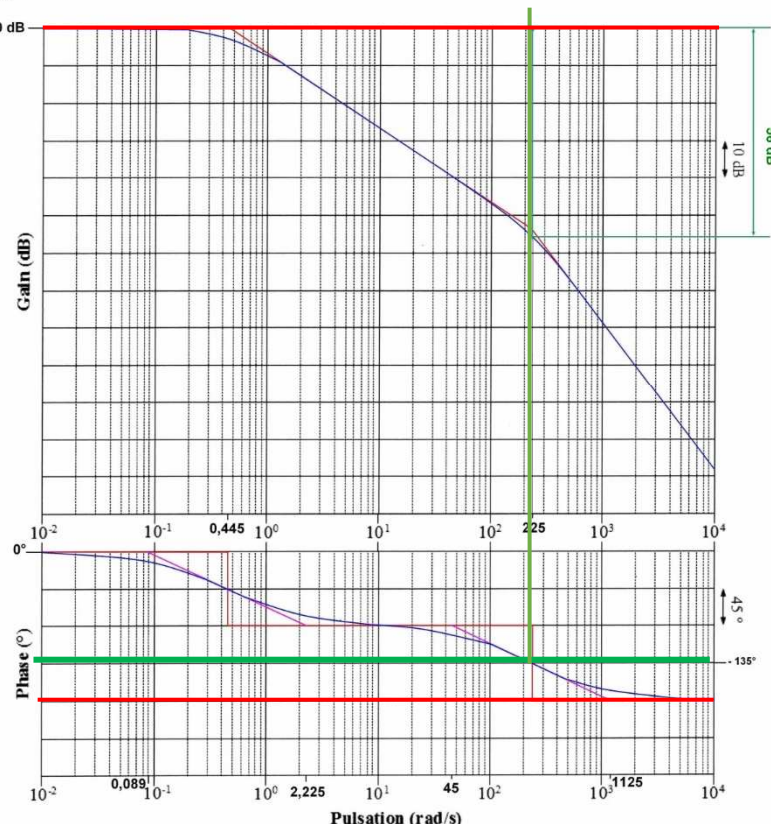
Q22- On veut une marge de gain supérieure ou égale à 15 dB. L'ordre 2 de la FTBO, la marge de gain tend vers l'infini, quelle que soit la valeur de K_p .

Q23 - On veut une marge de phase supérieure ou égale à 45° . Or la courbe de phase passe par -135° pour $\omega_2 = 225 \text{ rad.s}^{-1}$. Il faut $20 \log K_p = +56 \text{ dB}$ pour que $\omega_2 = 225 \text{ rad.s}^{-1}$ soit la pulsation de coupure à 0dB.

$$20 \log K_p = +56 \text{ dB} \Rightarrow K_p = 10^{\frac{56}{20}} \quad K_p \approx 630$$

Il faut donc $K_p \leq 630$ pour que la marge de phase soit supérieure ou égale à 45° .

Document réponse 4 : tracé asymptotique des diagrammes de Bode de $FTBO(p)$ pour $K_p = 1$



Q24- La valeur finale de $\omega_m(t)$ dépend du gain statique de la fonction donc :

$$\lim_{t \rightarrow +\infty} \omega_m(t) = \frac{K_{cap} K_p}{K_{cap} K_p + K_e} \omega_c = \frac{K_p}{K_p + 1} \omega_c$$

car $K_e = K_{cap}$

Le critère de précision sur la vitesse est une erreur statique de $\pm 10\%$ pour la vitesse du chariot, or, en ligne droite, la vitesse du chariot est proportionnelle à la vitesse de rotation du moteur, donc on veut :

$$\frac{K_p}{K_p + 1} \geq 0,9 \Rightarrow K_p \geq 0,9 (K_p + 1) \Rightarrow \boxed{K_p \geq 9}$$

Q25-

$$H_1(p) = \frac{K_{cap}K_p}{K_{cap}K_p + K_e} \frac{1}{1 + \frac{JR_m}{K_i(K_{cap}K_p + K_e)}p + \frac{JL_m}{K_i(K_{cap}K_p + K_e)}p^2}$$

D'où :

$$\omega_0 = \sqrt{\frac{K_i(K_{cap}K_p + K_e)}{JL_m}}, \frac{2m}{\omega_0} = \frac{JR_m}{K_i(K_{cap}K_p + K_e)} \Rightarrow m = \frac{1}{2} \sqrt{\frac{K_i(K_{cap}K_p + K_e)}{JL_m}} \frac{JR_m}{K_i(K_{cap}K_p + K_e)}$$

$$m = \frac{1}{2} \sqrt{\frac{JR_m^2}{K_i \cdot L_m (K_{cap}K_p + K_e)}}$$

$$\text{Or } K_e = K_{cap} = K_i \text{ donc } \omega_0 = K_i \sqrt{\frac{(K_p+1)}{JL_m}} \quad \text{et} \quad m = \frac{R_m \sqrt{J}}{2K_i \sqrt{L_m (K_p+1)}}$$

Application numérique :

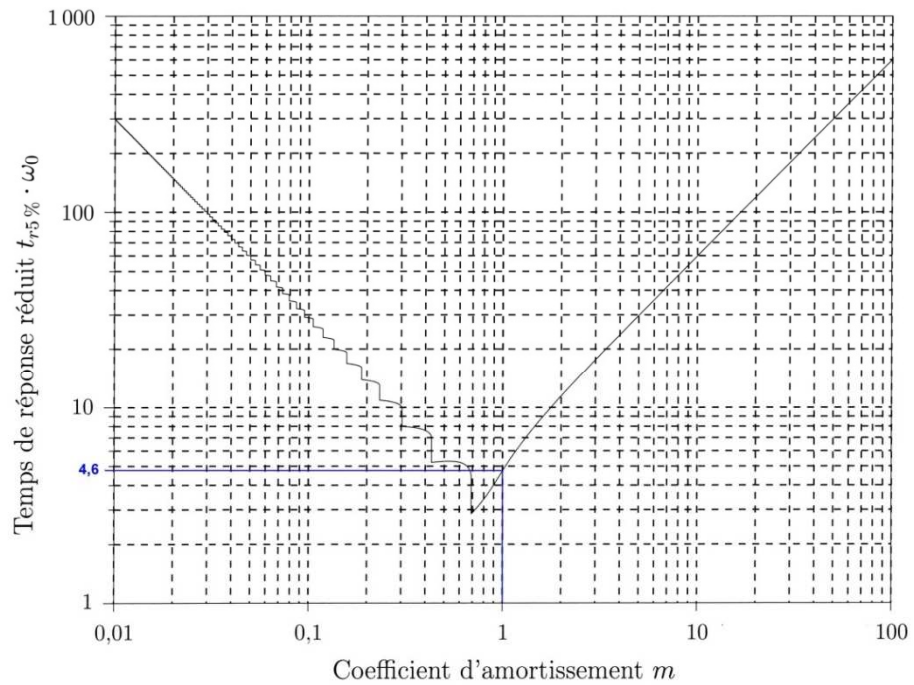
$$\omega_0 = 10 \sqrt{K_p + 1}; \quad m = \frac{11,25}{\sqrt{K_p + 1}}$$

Q26- La réponse de la roue la **plus rapide sans dépassement** correspond à ***m = 1***

d'où ***K_p = 125,5***.

Q27- Pour $K_p = 125,5$, la pulsation propre non amortie est $\omega_0 = 112,5 \text{ rad.s}^{-1}$, les tracés réalisés sur le document-réponse 5 , on a :

$$t_{r5\%} = 41.10^{-3}s$$



$$t_{r5\%} \cdot \omega_0 = 4,6$$

$$t_{r5\%} = 41 \cdot 10^{-3} \text{ s}$$

Q28- On privilégié le critère de rapidité : on cherche la valeur de K_p qui permet d'obtenir le temps de réponse le plus faible obtenu pour un coefficient d'amortissement : $m = 0,69$. Avec la relation $m = \frac{11,25}{\sqrt{K_p+1}}$, on trouve alors la valeur de K_p :

$$K_p = 264,8$$

Q29- $\Omega_m(p) = H_1(p)\Omega_{cons}(p) - H_2(p)C_r(p)$, la vitesse de rotation du moteur diminue à partir du moment où on applique un couple perturbateur $c_r(t) = 50 U(t - \tau)$ [Nm].

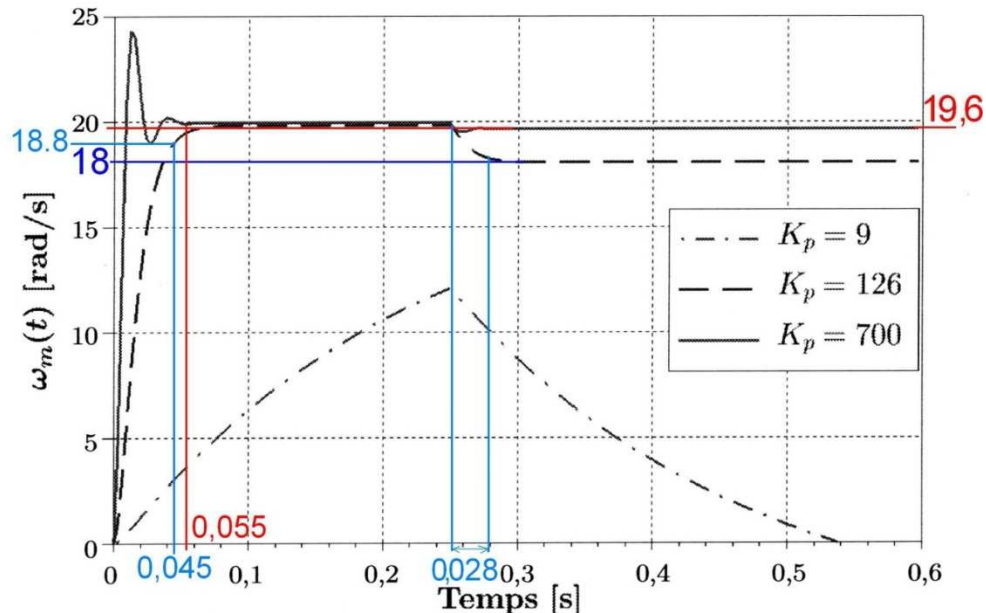


Figure 12 – Simulation du comportement d'une roue

	Précision	Dépassee-ment	Rapidité
$K_p = 9$ (critère de précision)	Ers% > 10% la précision n'est pas bonne car le gain K_p est peu élevé et l'influence de la perturbation importante.	Coeff. amortissement > 1 : on trouve $m = \frac{11,25}{\sqrt{K_p+1}} = 3,56 \Rightarrow$ pas de dépassee-ment .	fort amortissement \Rightarrow système très lent $t_{5\%} > 0,3s$ Non compatible le cahier des charges
$K_p = 126$ (critère de rapidité sans dépassee-ment)	Ers = 20 - 18 = 2 rad.s ⁻¹ Ers% = 10% vérifie le critère de précision malgré la perturbation.	Coeff. amortissement = 1 , \Rightarrow pas de dépassee-ment .	$t_{5\%} = 45.10^{-3}s < 0,3s$ compatible le cahier des charges (proche de la valeur déterminée Q27 : $41.10^{-3}s$).
$K_p = 700$	Ers = 20 - 19,6 = 0,4 rad.s ⁻¹ Ers% = 2% < 10% vérifie le critère de précision malgré la perturbation.	Coeff. amortissement < 1 , on trouve $m = \frac{11,25}{\sqrt{K_p+1}} = 0,42 \Rightarrow$ dépassee-ment .	$t_{5\%} = 55.10^{-3}s < 0,3s$ compatible le cahier des charges

En conclusion , on choisit la valeur $K_p = 126$ car cela garantit la vérification des critères de rapidité, de précision et de non-dépassee-ment tels que spécifiés dans le cahier des charges.